

CONSEIL INTERNATIONAL POUR L'EXPLORATION DE LA MER

Zooplancton.

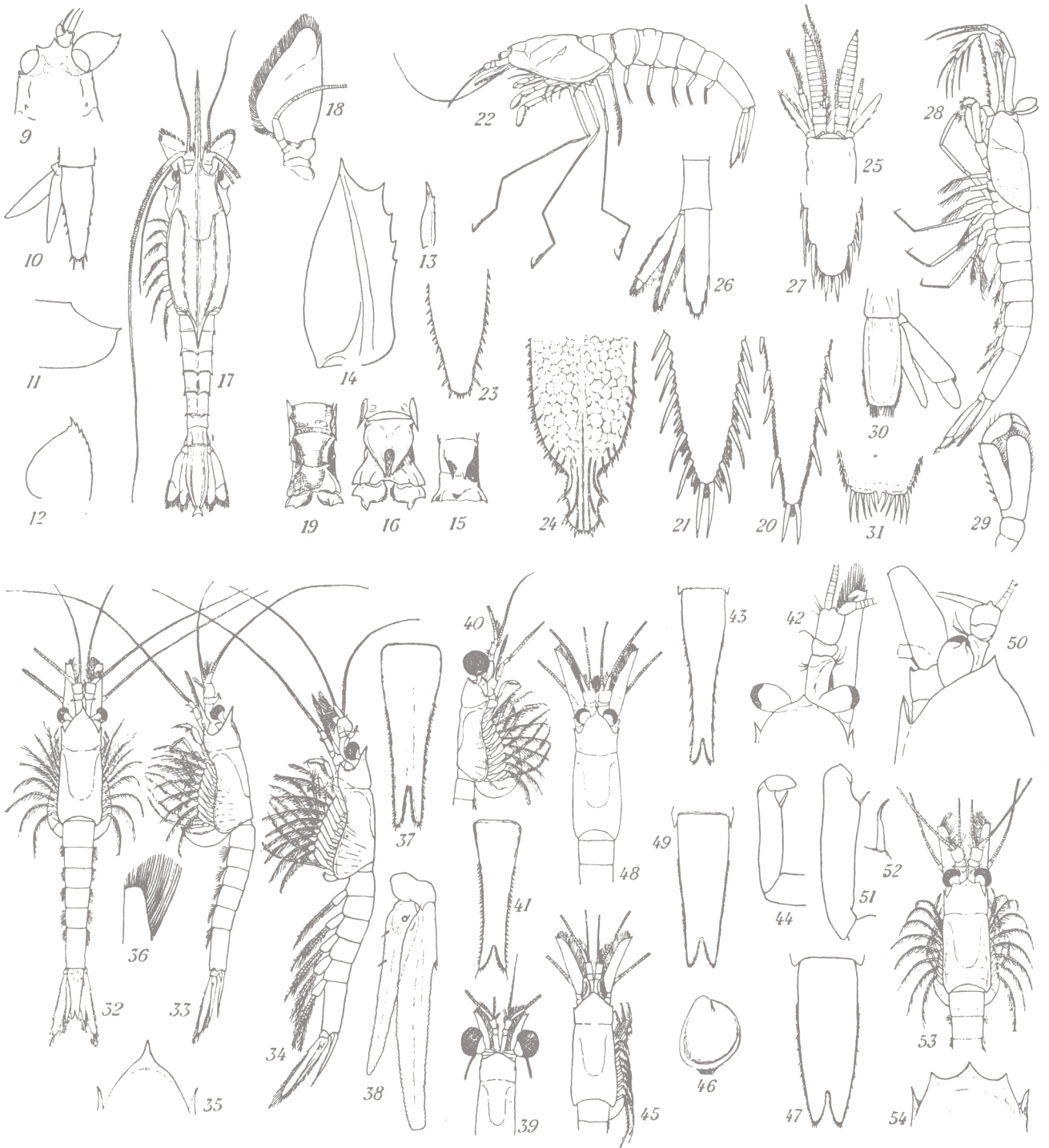
Fiche 19.

MYSIDACEA

Fam.: Lophogastridae, Eucopiidae,
Petalophthalmidae,
Mysidae (*part.*): BOREOMYSINAE

(Par H. Nouvel)

1950.



(D'après divers auteurs. — Echelles différentes).

Fam. LOPHOGASTRIDAE G. O. Sars

Genre LOPHOGASTER M. Sars:

Plaque frontale de la carapace tridentée. Telson tronqué et armé à son extrémité de 2 paires d'épines.

1. *L. typicus* M. Sars 1856. — (Fig. 9—12). — M. Sars, 1862, pl. I—III. G. O. Sars, 1916, 1 pl. (*juv.*). Fage, 1942, fig. 1a, 2, 3, 4, 16b, 17b. (*nec*: G. O. Sars, 1885a, pl. I; Zimmer, 1909, fig. 44—47 = *L. challengeri* Fage).

Genre GNATHOPHAUSIA Will.-Suhm

Carapace formant une pointe rostrale denticulée. Extrémité distale du telson terminée par une petite plaque en forme de croissant. Adultes de très grande taille. Bathypélagiques.

2. *Gn. gigas* Will.-Suhm 1875. — (Fig. 13—16). — Angles inféro-postérieurs de la carapace étirés en pointe. Écaille antennaire pointue à l'extrémité. — Willemoes-Suhm, 1875, pl. IX, fig. 16—17; pl. X, fig. 2, 2a, 3. G. O. Sars, 1885a, pl. III. Hansen, 1927, pl. I, fig. 4—4d. Holt & Tattersall, 1905a, (*Gn. drepanophora*), 1 fig. et pl. XVIII. 1905b, pl. II. Zimmer, 1909, fig. 48—53. Nouvel, 1943, pl. I, fig. 5—11.
3. *Gn. zoëa* Will.-Suhm 1875. — (Fig. 17—19). — Angles inféro-postérieurs de la carapace arrondis. Écaille antennaire à lobe apical arrondi. — Willemoes-Suhm, 1875, pl. IX, fig. 2—15; pl. X, fig. 4. G. O. Sars, 1885a, pl. VI, fig. 6—10; pl. V (*Gn. Willemoesi*), fig. 1—6. Faxon, 1895, pl. K, fig. 1 (coul.). Zimmer, 1909, fig. 54—58.

Fam. EUCOPIIDAE G. O. Sars

Genre EUCOPIA Dana

4. *E. hanseni* Nouvel 1942. — (Fig. 20). — Telson à extrémité aiguë; épines distales séparées des 2 dernières grandes épines latérales par 10 à 20 petites épines. — Nouvel, 1942a, fig. 1—4. 1943, pl. I, fig. 26—35. Fage, 1942, fig. 30b, 32c.
5. *E. grimaldii* Nouvel 1942. — (Fig. 21). — Telson à extrémité aiguë: 2 à 4 petites épines entre les distales et les 2 dernières grandes latérales. Nouvel, 1942a, fig. 5—8. 1943, pl. II, fig. 36—40. Fage, 1942, fig. 31c, 32b.
6. *E. sculpticauda* Faxon 1893. — (Fig. 22—24). — Telson arrondi à l'extrémité, sculpté en nids d'abeilles à sa face dorsale. — Faxon, 1895, pl. K, fig. 2—2d; pl. LIII, fig. 1—1d. Zimmer, 1909, fig. 61—63. Illig, 1930, fig. 1—6.

Fam. PETALOPHTHALMIDAE Czerniavsky

Genre HANSENUMYSIS Stebbing

7 paires d'exopodites natatoires. Carapace arrondie en avant. Yeux en lame triangulaire.

7. *H. fyllae* (Hansen 1888). — (Fig. 25—27). — Hansen, 1888 (*Arctomysis Fyllae*), Tab. VII, fig. 5—5l. 1908b, pl. IV, fig. 4a—k. Zimmer, 1909, fig. 68—70.

Genre PETALOPHTHALMUS Will.-Suhm.

6 paires d'exopodites natatoires. Courte pointe rostrale. Yeux ovoïdes, pédonculés, dressés. 2 premières paires d'appendices thoraciques avec une dépendance latérale lamelleuse.

8. *P. armiger* Will.-Suhm 1875. — (Fig. 28—31). Willemoes-Suhm, 1875, pl. VIII. G. O. Sars, 1885a, pl. XXXII, fig. 1—9. Faxon, 1895, pl. LIII, fig. 2—2d. Zimmer, 1909, fig. 64—67. Tattersall, 1925, pl. I, fig. 1—3. Hansen, 1927, pl. I, fig. 6a.

Légende des figures.

- Fig. 9—12. *Lophogaster typicus*: 9, partie antérieure, vue dorsale; 10, telson, uropode gauche; 11, partie latéro-postérieure de la carapace; 12, écaille antennaire.
- Fig. 13—16. *Gnathophausia gigas*: 13 et 14, écaille antennaire d'un jeune et d'un grand exemplaire; 15 et 16, 6^e segment abdominal d'un jeune et d'un adulte, face ventrale.
- Fig. 17—19. *Gnathophausia zoëa*: 17, vue dorsale; 18, écaille antennaire; 19, 6^e segment abdominal, face ventrale.
- Fig. 20. *Eucopia hanseni*: extrémité du telson.
- Fig. 21. *Eucopia grimaldii*: extrémité du telson.
- Fig. 22—24. *Eucopia sculpticauda*: 22, vue latérale; 23 et 24, extrémité du telson d'un jeune et d'un adulte.
- Fig. 25—27. *Hansenomysis fyllae*: 25, partie antérieure, vue dorsale; 26, telson et uropode gauche; 27, extrémité du telson.
- Fig. 28—31. *Petalophthalmus armiger*: 28, vue latérale; 29, 2^e appendice thoracique; 30, telson et uropode droit; 31, extrémité du telson.
- Fig. 32—38. *Boreomysis arctica*: 32, ♀, vue dorsale; 33, ♀, vue latérale; 34, ♂, vue latérale; 35, partie antérieure de la carapace, vue dorsale; 36, extrémité de l'écaille antennaire; 37, telson; 38, uropode gauche, face ventrale.
- Fig. 39—41. *Boreomysis megalops*: 39, partie antérieure, vue dorsale; 40, ♀, partie antérieure, vue latérale; 41, telson.
- Fig. 42—44. *Boreomysis microps*: 42, partie antérieure, vue dorsale; 43, telson; 44, extrémité de la 2^e patte thoracique.
- Fig. 45—47. *Boreomysis scyphops*: 45, partie antérieure, vue dorsale; 46, oeil; 47, telson.
- Fig. 48—49. *Boreomysis nobilis*: 48, partie antérieure, vue dorsale; 49, telson.
- Fig. 50—52. *Boreomysis semicaeca*: 50, partie antérieure, vue dorsale; 51, avant-dernier article de la 2^e patte thoracique; 52, épine latérale du même article.
- Fig. 53—54. *Boreomysis tridens*: 53, partie antérieure, vue dorsale; 54, partie antérieure de la carapace, vue dorsale.

Fam. MYSIDAE Dana

(voir aussi fiches 20 à 27)

Sous-fam. BOREOMYSINAE Holt & Tattersall

La rame externe des uropodes, jamais divisée nettement en 2 articles, possède, au bord externe, une partie proximale plus courte, glabre, séparée par quelques épines d'une partie distale plus longue garnie de soies (fig. 38).

Genre BOREOMYSIS G. O. Sars

Clé de détermination des espèces considérées :

- I. Yeux régressés, cupuliformes, sans éléments visuels *scyphops*
Yeux avec cornée pigmentée II
 - II. Plaque frontale tridentée *tridens*
Plaque frontale arrondie ou avec une seule pointe médiane III
 - III. Yeux énormes (aussi larges que les somites abdominaux). Plaque frontale arrondie *megalops*
Yeux beaucoup moins larges que les somites abdominaux. Pointe rostrale plus ou moins marquée IV
 - IV. Cornée moins large que le pédoncule oculaire V
Cornée bien plus large que le pédoncule oculaire VI
 - V. Cornée presque aussi large que le pédoncule *microps*
Cornée bien moins large *semicaeca*
 - VI. L'écaille antennaire, pointue à l'extrémité, dépasse le pédoncule antennulaire de plus de la longueur de ce dernier *nobilis*
L'écaille antennaire qui est tronquée à l'extrémité, dépasse le pédoncule antennulaire de moins de la longueur de ce dernier ... *arctica*
9. *B. scyphops* G. O. Sars 1879. — (Fig. 45—47). — G. O. Sars, 1885b, pl. VI. Hansen, 1908b, fig. 1a—b. Zimmer, 1909, fig. 87—90. 1885a, pl. XXXIII, fig. 7—10. Zimmer, 1909, fig. 79—82. Tattersall, 1939b, fig. 4. Nouvel, 1943, pl. II, fig. 52—54.
10. *B. tridens* G. O. Sars 1870. — (Fig. 53—54). — G. O. Sars, 1879, pl. XIV. Zimmer, 1909, fig. 91—94. 13. *B. semicaeca* Hansen 1905. — (Fig. 50—52). — Hansen, 1905a, fig. 9—11. Nouvel, 1943, pl. II, fig. 43—51.
11. *B. megalops* G. O. Sars, 1871. — (Fig. 39—41). — G. O. Sars, 1879, pl. XV—XVI. Zimmer, 1909, fig. 75—78. 14. *B. nobilis* G. O. Sars 1879. — (Fig. 48—49). — G. O. Sars, 1885b, pl. V, fig. 22—28. Zimmer, 1909, fig. 83—86.
12. *B. microps* G. O. Sars 1883. — (Fig. 42—44). — G. O. Sars, 1879, tab. XI—XIII. Zimmer, 1909, fig. 71—74. 1933, fig. 9. 15. *B. arctica* (Krøyer 1861). — (Fig. 32—38). — G. O. Sars, 1879, tab. XI—XIII. Zimmer, 1909, fig. 71—74. 1933, fig. 9.

Références.

Page, L. 1942. Dana-Report no. 23, 67 pp., 42 fig.

Faxon, W. 1895. Mem. Mus. Comp. Zool. Harvard, vol. XVIII, 292 pp., 67 pl.

Hansen, H. J. 1888. Vid. Medd. Naturh. Foren. 1887, pp. 5—226, pl. II—VI.

— 1905 a. Bull. Mus. Océanogr., no. 30, 32 pp., 24 fig.

— 1908 b. Danish Ingolf-Expedition Reports, vol. III(2), 120 pp., 5 pl.

— 1927. Exped. Sc. du «Travailleur» et du «Talisman», pp. 9—26, pl. I.

Holt, E. W. L. & Tattersall, W. M. 1905 a. Ann. Rep. Fish., Ireland, 1902—3, Pt. II, app. IV, pp. 99—152, pl. XV—XXV.

— 1905 b. Ann. Mag. Nat. Hist., ser. 7, vol. XVI, pp. 1—10, 2 pl.

Illig, G. 1930. Wiss. Ergebn. Deutsch. Tiefsee-Exped. "Valdivia", Bd. XXII(6), pp. 397—625, 215 fig.

Nouvel, H. 1942 a. Bull. Inst. Océanogr., no. 818, 8 pp., 10 fig.

— 1943. Res. Camp. Scient. Albert I^{er} Monaco, fasc. CV, 128 pp., 5 pl., 180 fig.

Tattersall, W. M. 1925. Fish. and Mar. Biol. Survey, Union S. Afr., Rep. no. 4(V) for 1924, 12 pp., 2 pl.

— 1939 b. The John Murray Exp. 1933—34, Scient. Rep., vol. V, no. 8, pp. 203—246, 21 fig.

Sars, G. O. 1879. Monographi over de ved Norges Kyster forekommende Mysider III, 131 pp., pl. IX—XLII.

— 1885 a. Sci. Res. Voyage of H. M. S. "Challenger". Zool., vol. XIII, pt. XXXVII, 228 pp., pl. I—XXXVIII.

— 1885 b. Norwegian North-Atlantic Exped. 1876—1878, Crust. I, 280 pp., 21 pl.

— 1916. Arch. Math. Naturv., Kristiania, vol. 34, no. 13, 9 pp., 1 pl.

Sars, M. 1862. Univ. Program Christiania 1862, IV+37 pp., 3 pl.

Willemoes-Suhm, R. V. von. 1875. Trans. Linn. Soc. London, 2^e Ser., Zool., vol. 1, pp. 23—59, pl. VI—XIII.

Zimmer, C. 1909. Nordisches Plankton, Lief. 12, no. 6, 178 pp., 384 fig.

— 1933. Die Tierwelt der Nord- und Ostsee, Lief. XXIII, Teil Xg3, pp. 29—69, 76 fig.

Distribution (Lophogastridae, Eucopiidae, Petalophthalmidae, Boreomysinae).	Espèces
Mers arctiques	9, 10, 11, 14, 15
Féroë-Islande	3, (4, 5)?, 9, 10, 11, 12, 14
S. de la Norvège	1, 15
Mer du Nord (W.; S.; S.-E.) ...	—
Skagerrak	15
Baltique	—
Manche, Mer d'Irlande	—
N.-W. de l'Ecosse, Shetland ...	1, (4, 5)?, 6, 7, 10, 11, 12, 15
W. et S.-W. de l'Irlande	1, 2, 3, (4, 5)?, 6, 7, 8, 10, 11, 12, 15
Golfe de Gascogne	1, 2, 3, 4, 5, 6, 12, 13, 15